

# СЕЙСМОРАЗВЕДКА В СИБИРИ И ЗА ЕЁ ПРЕДЕЛАМИ

МАТЕРИАЛЫ НАУЧНО-ПРАКТИЧЕСКОЙ КОНФЕРЕНЦИИ

14–17 ноября 2023 г.



Красноярск  
2024

Министерство науки и высшего образования Российской Федерации  
Сибирский федеральный университет

## **СЕЙСМОРАЗВЕДКА В СИБИРИ И ЗА ЕЁ ПРЕДЕЛАМИ**

Материалы научно-практической конференции

Красноярск, 14–17 ноября 2023 г.

*Электронное издание*

Красноярск  
СФУ  
2024

УДК 550.834(571.1/.5)  
ББК 26(253)  
С288

Ответственные за выпуск: Никитина Елена Викторовна  
Епифанцева Наталья Сергеевна

**С288 Сейсморазведка в Сибири и за её пределами** : материалы науч.-  
практ. конф. Красноярск, 14–17 ноября 2023 г. [Электронный ресурс] /  
отв. за вып. Е. В. Никитина, Н. С. Епифанцева. – Электрон. дан.  
(19,6 Мб). – Красноярск : Сиб. федер. ун-т, 2024. – 176 с. – Систем.  
требования : PC не ниже класса Pentium I ; 128 Mb RAM ; Windows  
98/XP/7/8/10 ; Adobe Reader V8.0 и выше. – Загл. с экрана.  
ISBN 978-5-7638-4925-7

Представлены результаты научной работы по применению современных  
методик обработки и интерпретации данных сейсморазведки, разработке новых  
алгоритмов, а также использованию Data Science в сейсморазведке.

Предназначены для профильных специалистов, сотрудников научно-исследо-  
вательских и проектных организаций, представителей нефтегазовых компаний  
и учреждений РАН.

Электронный вариант издания  
см.: <http://catalog.sfu-kras.ru>

УДК 550.834(571.1/.5)  
ББК 26(253)

ISBN 978-5-7638-4925-7

© Сибирский федеральный  
университет, 2024

*Электронное научное издание*

Корректор *Л. В. Боос*  
Компьютерная вёрстка *Е. А. Сафиной*

Подписано в свет 01.03.2024. Заказ № 20741  
Тиражируется на машиночитаемых носителях

Библиотечно-издательский комплекс  
Сибирского федерального университета  
660041, г. Красноярск, пр. Свободный, 82а  
Тел.: (391) 206-26-16; <http://bik.sfu-kras.ru>  
E-mail: [publishing\\_house@sfu-kras.ru](mailto:publishing_house@sfu-kras.ru)



## ► Миграционный скоростной анализ по высокочастотной асимптотике уравнения двойного корня

Н. Н. Шилов<sup>1</sup>, А. А. Дучков<sup>2</sup>

<sup>1,2</sup> Новосибирский государственный университет,

<sup>1,2</sup> Институт нефтегазовой геологии и геофизики им. А. А. Трофимука СО РАН

<sup>1</sup> n.shilov@g.nsu.ru, <sup>2</sup> DuchkovAA@ipgg.sbras.ru

**Введение.** Сейсморазведка методом отражённых волн является ведущим методом изучения внутреннего строения Земли, в особенности в целях поиска залежей углеводородов. Основным результатом обработки сейсмических данных являются волновые изображения отражающих границ, причём достоверность этих изображений определяется точностью скоростной модели изучаемого участка [1]. Избыточность данных сейсморазведки позволяет уточнять скоростную модель среды по погрешностям в волновых изображениях – такие подходы называются миграционным скоростным анализом [2]. В данной работе будет изложен новый метод этой группы, основанный на высокочастотной асимптотике одной из аппроксимаций волнового уравнения и являющийся развитием метода регуляризованного направленного приёма (РНП) [3; 4]. В тексте доклада будет рассматриваться только двумерная постановка задачи, но предлагаемый подход может быть обобщён и на трёхмерный случай.

**Теоретические основы метода.** Рассмотрим двумерное пространство  $z \geq 0$ , в котором задано гладкое распределение скорости упругих волн  $v(x, z)$ . Пусть на плоскости  $z=0$  в координатах  $x_s$  и  $x_r$  соответственно расставлены источники и приёмники сейсмических колебаний. Обозначим время пробега отражённой волны между источником и приёмником за  $\tau(x_s, x_r, z=0)$  и рассмотрим поведение этой функции при  $z > 0$ , т. е. при пересчёте времён пробега в нижнее полупространство. В [5] было показано, что она подчиняется дифференциальному уравнению:

$$\frac{\partial \tau}{\partial z} + \sqrt{\frac{1}{v_s^2} - \left(\frac{\partial \tau}{\partial x_s}\right)^2} + \sqrt{\frac{1}{v_r^2} - \left(\frac{\partial \tau}{\partial x_r}\right)^2} = 0, \quad (1)$$

где за  $v_s$  и  $v_r$  обозначены соответственно скорости в источнике и приёмнике,  $v(x_s, z)$  и  $v(x_r, z)$ . Это уравнение описывает кинематику отражённой волны вплоть до отражающей границы при условии, что её лучи нигде не становятся горизонтальными. В [6] по нему строится псевдодифференциальное уравнение двойного корня (англ. *Double Square Root equation*), позволяющее пересчитывать не только времена пробега, но и всё волновое



поле, а в [7] показывается, что изложенная ниже теория есть высокочастотная асимптотика этого уравнения.

По аналогии с классическим лучевым методом [8; 9] уравнение (1) можно решать методами гамильтоновой механики. Для этого определяются векторы *координат* и *медленности* (верхний индекс  $T$  указывает на транспонирование):

$$\vec{x} = (x_s, x_r, z)^T, \quad \vec{p} = (p_s, p_r, p_z)^T = \left( \frac{\partial \tau}{\partial x_s}, \frac{\partial \tau}{\partial x_r}, \frac{\partial \tau}{\partial z} \right)^T, \quad (2)$$

а также *гамильтониан* системы:

$$H(\vec{x}, \vec{p}) \propto p_z + \sqrt{\frac{1}{v_s^2} - p_s^2} + \sqrt{\frac{1}{v_r^2} - p_r^2}, \quad (3)$$

в котором знаком  $\propto$  обозначена пропорциональность. Конкретная форма гамильтониана приведена в [7]. Уравнение (1) выполнено, если гамильтониан равен нулю, и наоборот.

Введённому гамильтониану соответствует *система уравнений луча*, параметризованного временем пробега:

$$\begin{cases} \frac{d\vec{x}}{d\tau} = \nabla_{\vec{p}} H, & \nabla_{\vec{p}} = \left( \frac{\partial}{\partial p_s}, \frac{\partial}{\partial p_r}, \frac{\partial}{\partial p_z} \right)^T, \\ \frac{d\vec{p}}{d\tau} = -\nabla_{\vec{x}} H, & \nabla_{\vec{x}} = \left( \frac{\partial}{\partial x_s}, \frac{\partial}{\partial x_r}, \frac{\partial}{\partial z} \right)^T. \end{cases} \quad (4)$$

Её решения – пары  $\vec{x}(\tau)$ ,  $\vec{p}(\tau)$  – лучи уравнения двойного корня, или просто лучи. В работе [7] показано, как поставить для них начальные условия и трассировать *в обратном времени* от  $\tau = \tau^{obs}$  – времени регистрации волны в приёмнике – до  $\tau = 0$  – нулевого времени отражения. Формально нулевое время отражения реализуется, когда источник и приёмник расположены в одной и той же точке непосредственно на отражающей границе. Неравенство  $x_s|_{\tau=0} \neq x_r|_{\tau=0}$  нарушает *физику* отражения и может свидетельствовать об ошибках в скоростной модели.

Пусть вместо точной скоростной модели задано её приближение  $v_0(x, z)$ , и в нём по системе (4) были построены  $K$  лучей уравнения двойного корня  $\vec{x}^k(\tau)$ ,  $\vec{p}^k(\tau)$ ,  $k = \overline{1, K}$ . Такие лучи могут *не сойтись* на отражающих границах при  $\tau = 0$ . Обозначим за  $h_k$  величину

$$h_k = (x_r^k - x_s^k)|_{\tau=0} \quad (5)$$



и введём функционал невязки:

$$L = \frac{1}{K} \sum_{k=1}^K h_k^2 \geq 0. \quad (6)$$

Будем искать возмущение скоростной модели в параметрическом виде:

$$v(x, z; \tilde{\mathbf{V}}) = v_0(x, z) + v(x, z; \tilde{\mathbf{V}}), \quad L = L(\tilde{\mathbf{V}}), \quad h_k = h_k(\tilde{\mathbf{V}}), \quad (7)$$

где матрица параметров  $\tilde{\mathbf{V}}$  задаёт **возмущение скорости** в узлах фиксированной сетки:

$$\tilde{\mathbf{V}} = \left\{ \tilde{v}_{mn} \right\}, \quad \tilde{v}(x_m, z_n; \tilde{\mathbf{V}}) = \tilde{v}_{mn}, \quad m = \overline{1, M}, \quad n = \overline{1, N}, \quad (8)$$

а между узлами строится интерполяционный бикубический сплайн [10]. Используя методы теории возмущений луча, изложенные в [11; 12], можно рассчитать градиент  $L(\tilde{\mathbf{V}})$  и реализовать подбор матрицы  $\tilde{\mathbf{V}}$ , минимизирующей функционал невязки (6). В нашей работе мы пользуемся алгоритмами *L-BFGS-B* [13] и *SLSQP* [14] из библиотек *SciPy* [15] языка *Python*.

**Данные для инверсии.** Для лучевого трассирования в обратном времени и расчёта градиента целевого функционала (6) необходимо знать времена пробега отражённых волн и их производные на поверхности наблюдений. Такие же данные нужны в методе РНП [3; 4] и стереотомографии [16], авторы которых разработали методику их извлечения из сейсмограмм до суммирования [17]. В итоге массив данных для инверсии включает в себя следующие значения:

- $x_s^{obs}$  – координата источника;
- $x_r^{obs}$  – координата приёмника;
- $\tau^{obs}$  – время регистрации отражённой волны;
- $p_s^{obs} = \frac{\partial \tau^{obs}}{\partial x_s^{obs}}$  – производная времени пробега по координате источника;

ника;

- $p_r^{obs} = \frac{\partial \tau^{obs}}{\partial x_r^{obs}}$  – производная времени пробега по координате приёмника;

ника;

- $\sigma \in [0, 1]$  – мера когерентности (сембланс) выделенной волны, характеризующая степень уверенности в выделении события на трассе.



**Регуляризация функционала невязки.** Функционал невязки в форме (6) характеризует неточность скоростной модели при отсутствии ошибок в данных. Такие ошибки неизбежно возникают при анализе сейсмограмм, поэтому по аналогии с [17] мы вводим регуляризованный функционал невязки:

$$L_{\sigma}(\tilde{\mathbf{V}}) = L_h(\tilde{\mathbf{V}}) + L_{v_{mn}}(\tilde{\mathbf{V}}), \quad L_h(\tilde{\mathbf{V}}) = \frac{1}{K} \sum_{k=1}^K h_k^2 \sigma_k^2$$

$$L_{v_{mn}}(\tilde{\mathbf{V}}) = \frac{1}{MN} \sum_{m=1}^M \sum_{n=1}^N \left[ v_{mn}^2 + \left( \Delta v(x_m, z_n; \tilde{\mathbf{V}}) \right)^2 (\delta x \delta z)^2 \right] \Delta \frac{1}{K} \sum_{k=1}^K (\tau_k^{obs})^2 (1 - \sigma_k)^2, \quad (9)$$

в котором к целевой функции были прибавлены члены, ограничивающие сложность скоростной модели. Оператор  $\Delta = \frac{\partial^2}{\partial x^2} + \frac{\partial^2}{\partial z^2}$  есть оператор Лапласа,  $\delta x$  и  $\delta z$  – шаги по сетке, на которой ищется возмущение скорости, а знак умножения поставлен, чтобы визуально подчеркнуть перемножение сумм. Нормирующие множители подбирались нами эвристически, исходя из следующих соображений:

- размерность функционала невязки (9) должна совпадать с размерностью (6);
- штраф за расхождение источника и приёмника  $L_h(\tilde{\mathbf{V}})$  должен быть максимальным для достоверно ( $\sigma_k \approx 1$ ) выделенных событий;
- штраф за возмущения скорости  $L_{v_{mn}}(\tilde{\mathbf{V}})$  должен быть максимальным для ненадёжно ( $\sigma_k \approx 0$ ) выделенных событий.

Заметим также, что функционал (9) переходит в (6) при  $\sigma_k \rightarrow 1$  для всех  $k = \overline{1, K}$ .

**Двухстадийная оптимизация.** Для устойчивого восстановления скоростной модели мы применили двухстадийную стратегию оптимизации, похожую на предложенную в [17]:

- 1) поиск возмущения скорости на сетке из четырёх узлов в углах модели;
- 2) поиск возмущения скорости на подробной сетке.

На первом шаге ищется «почти линейная» скоростная модель, максимально удовлетворяющая сразу всему массиву данных, а на втором – уточняются локальные неоднородности.

**Пример инверсии синтетических данных.** Для тестирования новых алгоритмов миграции и скоростного анализа часто пользуются моделью «Мармуси» [18]. Авторы метода стереотомографии [16] предложили упрощённый вариант этой модели и предоставили нам синтетические сейсмограммы для инверсии. Эти сейсмограммы были рассчитаны мето-



дом борновского моделирования [19] и включают в себя только однократно рассеянные волны, а истинная скоростная модель не содержит поверхностей разрывов.

На рис. 1 приведены начальное приближение, результат первой стадии инверсии и итоговая скоростная модель, построенные в результате инверсии 2770 пропикированных отражённых волн с семблансом  $\sigma > 0,8$ . Поверх скоростных моделей наложены примерные положения отражающих площадок, координаты и ориентация которых находятся из геометрии лучей [3], а прозрачность экспоненциально возрастает с  $|h|$  (5). Хорошо видно, как в процессе инверсии фокусируется структурное изображение. Для демонстрации корректности построенной модели была проведена глубинная миграция равных удалений [19], результаты которой изображены на рис. 2. Слева на нём приведены суммарные изображения, получаемые на разных стадиях инверсии, а справа – сейсмограммы общей точки изображения. Видно, что по мере уточнения скоростной модели волны на них выстраиваются в горизонтальные структуры, что свидетельствует о точности подбора скоростей [20].

**Пример инверсии реальных данных.** Для проверки работоспособности алгоритма в условиях реальной сейсмической съёмки были взяты данные по наземному профилю в Западной Сибири. На сейсмограммах было выделено 3946 событий с семблансом  $\sigma > 0,8$  и проведена инверсия. Её результаты приведены на рис. 3 в том же порядке, что и для инверсии синтетических данных. Хорошо видно, что в верхней (до 1000 м) горизонтально-слоистой части разреза надёжно прослеживаются многочисленные отражающие границы, а в более глубокой синклинальной структуре – всего три основных горизонта. О достоверности восстанавливаемой скоростной модели можно судить по результатам миграции равных удалений, приведённым на рис. 4. Видно, что включённым в инверсию отражающим горизонтам соответствуют почти горизонтальные структуры на сейсмограммах общей точки изображения, но между ними сохранилось много неспрямлённых границ, которые не были надёжно пропикированы и не были включены в инверсию. Таким образом, вопрос корректной подготовки набора данных требует дальнейшего изучения, хотя уже можно утверждать, что предложенный метод не разошёлся на реальных сейсмограммах.



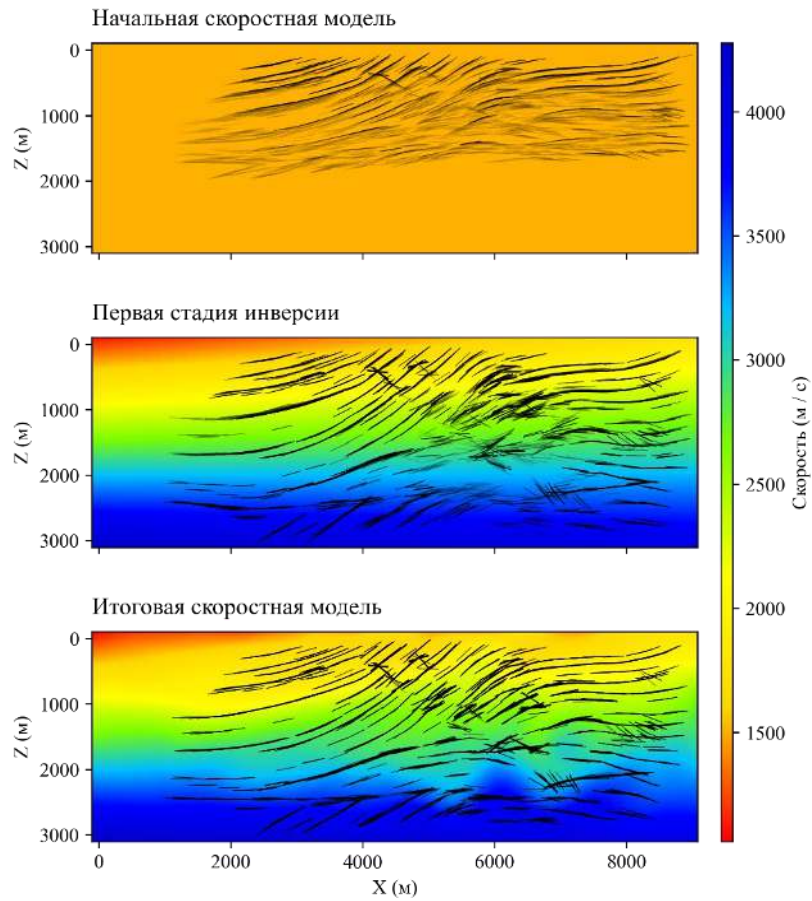


Рис. 1. Скоростные модели с наложенными отражающими площадками, построенные по синтетическим данным

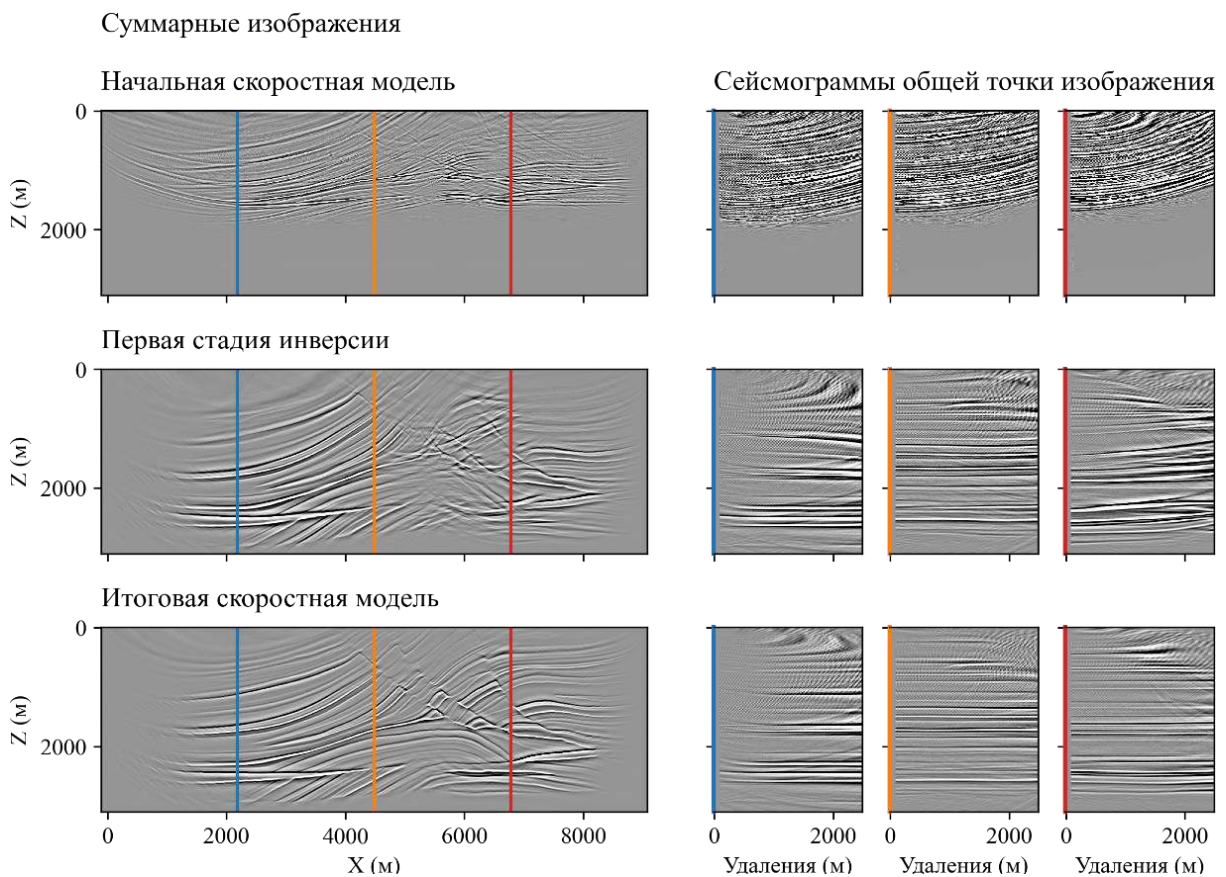


Рис. 2. Результаты глубинной миграции равных удалений по синтетическим данным

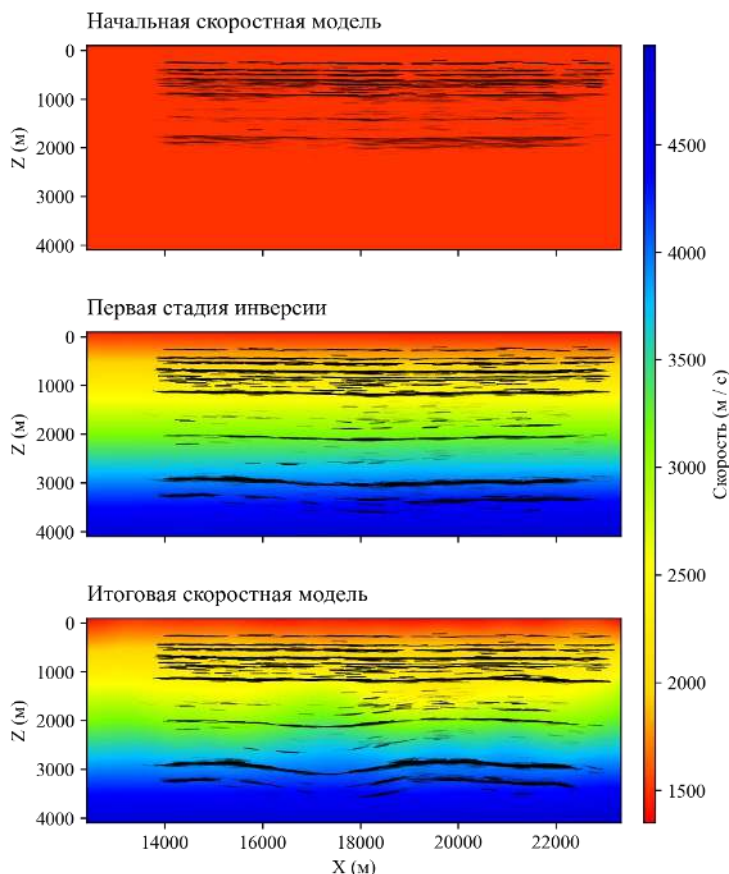


Рис. 3. Скоростные модели с наложенными отражающими площадками, построенные по реальным данным

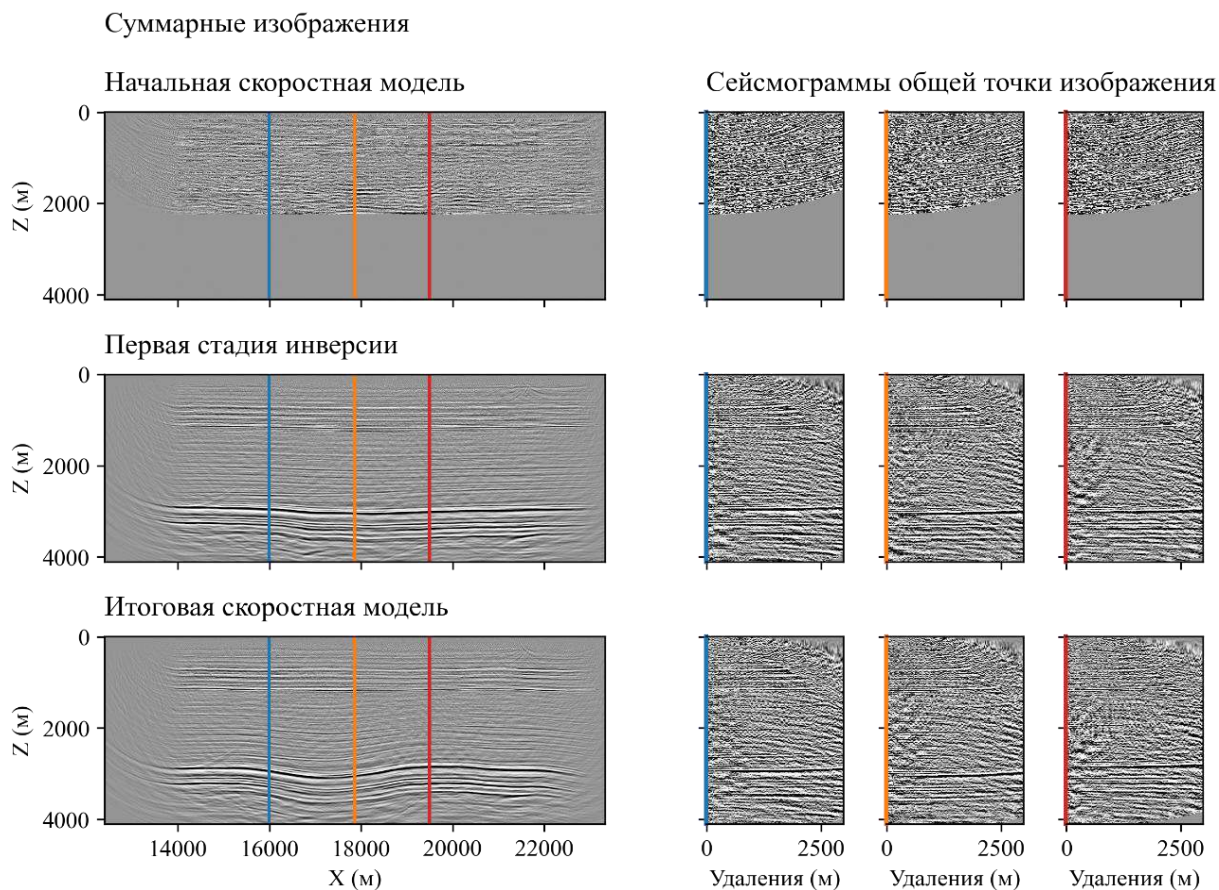


Рис. 4. Результаты глубинной миграции равных удалений по реальным данным



**Заключение.** В данной работе представлен метод уточнения скоростной модели среды, основанный на высокочастотной асимптотике псевдодифференциального уравнения двойного корня – аппроксимации волнового уравнения, описывающей только субвертикально распространяющиеся волны. В тексте работы приведён вывод функционала невязки и указан метод расчёта его градиента, предложен вариант регуляризации, в котором отдельно оговорены эвристические решения, принятые в этой работе и интересные для дальнейшего изучения. Работоспособность метода продемонстрирована на наборе синтетических и реальных данных.

*Благодарности.* Исследования проводились в рамках государственных заданий FSUS-2022-0019 и FWZZ-2022-0017.

### Список источников

1. Гурвич И. И. Сейсморазведка: учебник / И. И. Гурвич, Г. Н. Боганик. Тверь: АИС, 2006. 744 с.
2. Biondi B. L. 3D Seismic Imaging / B. L. Biondi // Investigations in Geophysics. Society of Exploration Geophysicists, 2006. 247 p.
3. Sword C. H. Tomographic Determination of Interval Velocities from Reflection Seismic Data: the Method of Controlled Directional Reception: Ph. D. Thesis / C. H. Sword. Stanford University, 1987.
4. Рябинкин Л. А. Вопросы регулируемого направленного приёма (РНП) сейсмических волн / Л. А. Рябинкин. М.: Гостоптехиздат, 1957. 165 с.
5. Белоносова А. В. Об одной постановке обратной кинематической задачи сейсмологии для двумерной неоднородной среды / А. В. Белоносова, А. С. Алексеев // Некоторые методы и алгоритмы интерпретации геофизических данных. 1967. С. 137–154.
6. Claerbout J. F. Imaging the Earth's Interior / J. F. Claerbout. Blackwell Scientific Publications, 1985. 398 с.
7. Шилов Н. Н. Система динамического лучевого трассирования для уравнения двойного корня: ВКР магистра / Н. Н. Шилов. Новосибирск, 2021. 96 с.
8. Алексеев А. С. Лучевой метод вычисления интенсивности волновых фронтов / А. С. Алексеев, В. М. Бабич, Б. Я. Гельчинский // Вопросы динамической теории распространения сейсмических волн. 1961. Т. 5. С. 3–24.
9. Červený V. Seismic Ray Theory / V. Červený. Cambridge: Cambridge University Press, 2001. 713 p.
10. Марчук Г. И. Методы вычислительной математики / Г. И. Марчук. М.: Наука, 1980. 535 с.
11. Шилов Н. Н. Миграционный скоростной анализ по лучевой асимптотике уравнения двойного корня / Н. Н. Шилов, А. А. Дучков // Сибирский журнал индустриальной математики. 2023. Т. 4 [прин. к публ.].



12. Farra V. Seismic Waveform Modeling in Heterogeneous Media by Ray Perturbation Theory (France) / V. Farra, R. Madariaga // *Journal of Geophysical Research*. 1987. Vol. 92. Pp. 2 607–2 712.
13. Byrd R. H. A Limited Memory Algorithm for Bound Constrained Optimization / R. H. Byrd et al. // *SIAM Journal on Scientific Computing*. 1995. Vol. 16. No. 5. Pp. 1 190–1 208.
14. Kraft D. A Software Package for Sequential Quadratic Programming / D. Kraft // *Tech. Rep. DFVLR-FB. Wiss. Berichtswesen d. DFVLR*. 1988. Vol. 88. No. 28.
15. Virtanen P. SciPy 1.0: Fundamental Algorithms for Scientific Computing in Python / P. Virtanen et al. // *Nature Methods*. 2020. Vol. 17. No. 3. Pp. 261–272.
16. Lambaré G. Stereotomography / G. Lambaré // *Geophysics*. 2008. Vol. 73. No. 5. Pp. VE25–VE34.
17. Billette F. Practical Aspects and Applications of 2D Stereotomography / F. Billette et al. // *Geophysics*. 2003. Vol. 68. No. 3. Pp. 1 008–1 021.
18. Brougois A. Marmousi, Model and Data / A. Brougois et al. // *EAGE Workshop – Practical Aspects of Seismic Data Inversion*. European Association of Geoscientists & Engineers, 1990.
19. Bleistein N. Mathematics of Multidimensional Seismic Imaging, Migration, and Inversion / N. Bleistein, J. K. Cohen, J. W. J. Stockwell. New York: Springer, 2001. Vol. 13. 511 p.
20. Sava P. C. Angle- domain Common- image Gathers by Wavefield Continuation Methods / P. C. Sava, S. Fomel // *Geophysics*. Society of Exploration Geophysicists. 2003. Vol. 68. No. 3. Pp. 1 065–1 074.